

已知变量 φ 的输运过程由如下对流—扩散方程控制：

$$\frac{d}{dx}(\rho u \varphi) = \frac{d}{dx} \left(\Gamma \frac{d\varphi}{dx} \right) \quad (1)$$

$$\frac{d(\rho u)}{dx} = 0 \quad (2)$$

对于如图 1 所示的计算域 ($x \in [0, L]$)，其对应的边界条件为：

$$\begin{cases} \varphi_0 = 1, & x = 0 \\ \varphi_L = 0, & x = L \end{cases} \quad (3)$$

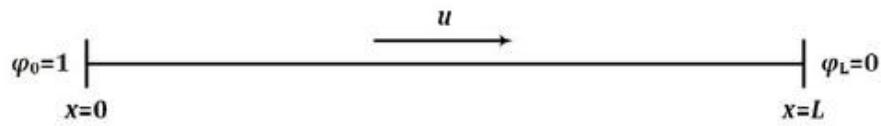


图 1 计算域示意图

该方程的精确解为：

$$\frac{\varphi - \varphi_0}{\varphi_L - \varphi_0} = \frac{\exp(\rho u x / \Gamma) - 1}{\exp(\rho u L / \Gamma) - 1} \quad (4)$$

若已知： $L=1.0 \text{ m}$ 、 $\rho=1.0 \text{ kg/m}^3$ 、 $\Gamma=0.1 \text{ kg/(m}\cdot\text{s)}$ ，要求：（1）将该计算域划分为 5 个均分的网格，分别采用中心差分格式、上风格式、混合格式（仅对 $u=2.5 \text{ m/s}$ ）三种离散格式，在（i） $u=0.1 \text{ m/s}$ 、（ii） $u=2.5 \text{ m/s}$ 的条件下进行求解；（2）采用 Fortran 语言编写计算机程序代码；（3）分别以图和表的形式，将上述三种离散格式的计算结果与精确解[式（4）]的计算结果进行比较。

网格划分

对计算域进行网格划分，共划分为 5 个网格，见图 2

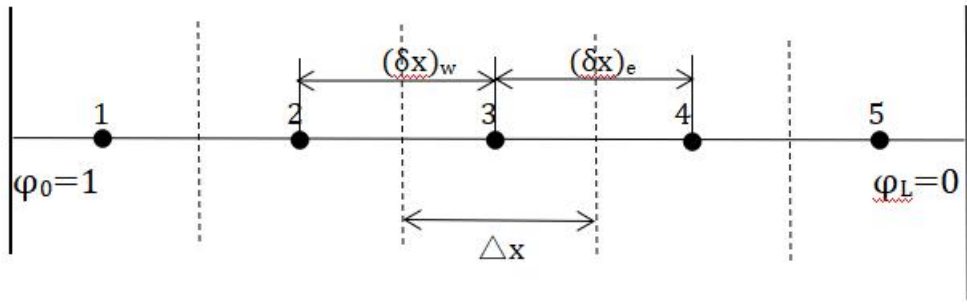


图 2 计算域网格划分

方程离散格式

由方程（1）可得

$$\int_w^e \frac{d}{dx}(\rho u \varphi) dx = \int_w^e \frac{d}{dx}(\Gamma \frac{d\varphi}{dx}) dx, (5)$$

即：

$$(\rho u \varphi)_e - (\rho u \varphi)_w = \left(\Gamma \frac{d\varphi}{dx} \right)_e - \left(\Gamma \frac{d\varphi}{dx} \right)_w,$$

$$(\rho u \varphi)_e - (\rho u \varphi)_w = \Gamma_{\varphi,e} \frac{\varphi_E - \varphi_P}{(\delta x)_e} - \Gamma_{\varphi,w} \frac{\varphi_P - \varphi_W}{(\delta x)_w}, (6)$$

定义 Peclet 数 $P=F/D$ ，其中 $F=\rho u$ ， $D=\Gamma/\delta x$

1.1 中心差分

界面处的 φ 值：

$$\begin{cases} \varphi_e = (\varphi_E + \varphi_P)/2 \\ \varphi_w = (\varphi_W + \varphi_P)/2 \end{cases}$$

由（6）可得：

$$(\rho u)_e \frac{(\varphi_E + \varphi_P)}{2} - (\rho u)_w \frac{(\varphi_W + \varphi_P)}{2} = \Gamma_{\varphi,e} \frac{\varphi_E - \varphi_P}{(\delta x)_e} - \Gamma_{\varphi,w} \frac{\varphi_P - \varphi_W}{(\delta x)_w}, (7)$$

化为标准形式： $a_P \varphi_P = a_W \varphi_W + a_E \varphi_E$ ，则有，

$$a_E = D_e - F_e/2, \quad a_W = D_w + F_w/2, \quad a_P = a_E + a_W + (F_e - F_w),$$

已知 $\varphi_0 = 1$ ， $\varphi_L = 0$ ，则有：

对于第一个控制体：

$$\begin{cases} \varphi_e = (\varphi_E + \varphi_P)/2 \\ \varphi_w = \varphi_0 \end{cases},$$

则

$$a_P \varphi_P = a_W \varphi_W + a_E \varphi_E$$

$$a_E = D_e - \frac{F_e}{2}, \quad a_W \varphi_W = (2D_w + F_w) \varphi_0, \quad a_P = D_e + \frac{F_e}{2} + 2D_w$$

同理对最后一个控制体有：

$$\begin{cases} \varphi_e = \varphi_L \\ \varphi_w = (\varphi_W + \varphi_P)/2 \end{cases},$$

则有：

$$a_P \varphi_P = a_W \varphi_W + a_E \varphi_E$$

$$a_W = D_w - \frac{F_w}{2}, \quad a_E \varphi_E = (2D_e - F_e) \varphi_L, \quad a_P = D_w - \frac{F_e}{2} + 2D_e$$

1.2 上风格式

对于界面处的 φ 有：

$$\varphi_e = \begin{cases} \varphi_P, & F_e > 0 \\ \varphi_E, & F_e < 0 \end{cases},$$

$$\begin{cases} F_e \varphi_e = \varphi_P [F_e, 0] - \varphi_E [-F_e, 0] \\ F_w \varphi_w = \varphi_W [F_w, 0] - \varphi_P [-F_w, 0] \end{cases},$$

带入方程（6）则有：

$$(\varphi_e [F_e, 0] - \varphi_E [-F_e, 0]) - (\varphi_W [F_w, 0] - \varphi_P [-F_w, 0]) = \Gamma_{\varphi, e} \frac{\varphi_E - \varphi_P}{(\delta x)_e} - \Gamma_{\varphi, w} \frac{\varphi_P - \varphi_W}{(\delta x)_w}, \quad (8)$$

则,

$$a_P \varphi_P = a_W \varphi_W + a_E \varphi_E$$

$$a_E = D_e + [-F_e, 0], \quad a_W = D_w + [F_w, 0], \quad a_P = a_E + a_W + (F_e - F_w)$$

对于边界处的界面上 φ 值：

由边界条件可得对于第一个控制体有：

$$a_P \varphi_P = a_W \varphi_W + a_E \varphi_E$$

$$a_E = D_e + \llbracket -F_e, 0 \rrbracket, \quad a_W \varphi_W = (2D_w + \llbracket F_w, 0 \rrbracket) \varphi_0,$$

$$a_P = \llbracket F_e, 0 \rrbracket + \llbracket -F_w, 0 \rrbracket + D_e + 2D_w$$

对于最后一个控制体有：

$$a_P \varphi_P = a_W \varphi_W + a_E \varphi_E$$

$$a_W = D_w + \llbracket F_w, 0 \rrbracket, \quad a_E \varphi_E = (2D_e + \llbracket -F_e, 0 \rrbracket) \varphi_L,$$

$$a_P = \llbracket F_e, 0 \rrbracket + \llbracket -F_w, 0 \rrbracket + 2D_e + 2D_w$$

1.3 混合格式

控制体界面处的 φ 值：

$$\varphi_e = \begin{cases} \varphi_P, & P_e > 2 \\ (\varphi_P + \varphi_E)/2, & |P_e| \leq 2 \\ \varphi_E, & P_e < -2 \end{cases}$$

当 $|P_e| \leq 2$ 时，其形式与中心差分相同；当 $|P_e| > 2$ 时，其形式与上风格式相同，整理可得，

$$a_P \varphi_P = a_W \varphi_W + a_E \varphi_E$$

$$a_E = \llbracket -F_e, D_e - \frac{F_e}{2}, 0 \rrbracket, \quad a_W = \llbracket F_w, D_w + \frac{F_w}{2}, 0 \rrbracket, \quad a_P = a_E + a_W + (F_e - F_w)$$

计算结果

$u=0.1 \text{ m/s}$

表 1 不同格式计算结果

	φ_1	φ_2	φ_3	φ_4	φ_5
精 确 解	0.938793	0.796390	0.622459	0.410020	0.150545
中心差分	0.9390146	0.7967154	0.6227942	0.4102237	0.1504154
相对误差 (%)	2.3612201 E-02	4.0819650 E-02	5.3796108 E-02	4.9803854 E-02	8.5985282 E-02
上风格式	0.9337334	0.7879469	0.6130031	0.4030705	0.1511514
相对误差 (%)	5.3894101 E-01	1.0602032	1.52	1.695	0.403
混合格式	0.9390146	0.7967154	0.6227942	0.4102237	0.1504154

相对误差 (%)	2.3612201 E-02	4.0819650 E-02	5.3796108 E-02	4.9803854 E-02	8.5985282 E-02
-------------	-------------------	-------------------	-------------------	-------------------	-------------------

$u=2.5\text{ m/s}$

表 2 不同格式计算结果

	φ_1	φ_2	φ_3	φ_4	φ_5
精 确 解	1.000000	1.000000	0.999996	0.999447	0.917915
中心差分	1.004167	0.9916667	1.020833	0.9527779	1.111574
相 对 误 差 (%)	0.4	0.83	2.08	4.67	21.10
上风格式	0.9998425	0.9987401	0.9921260	0.9524110	0.7143308
相 对 误 差 (%)	0.0157	0.125	0.787	4.7032	22.18
混合格式	1.000000	1.000000	1.000000	1.000000	1.000000
相 对 误 差 (%)	0	0	3.7551067E -04	5.5337755E -02	8.9425504

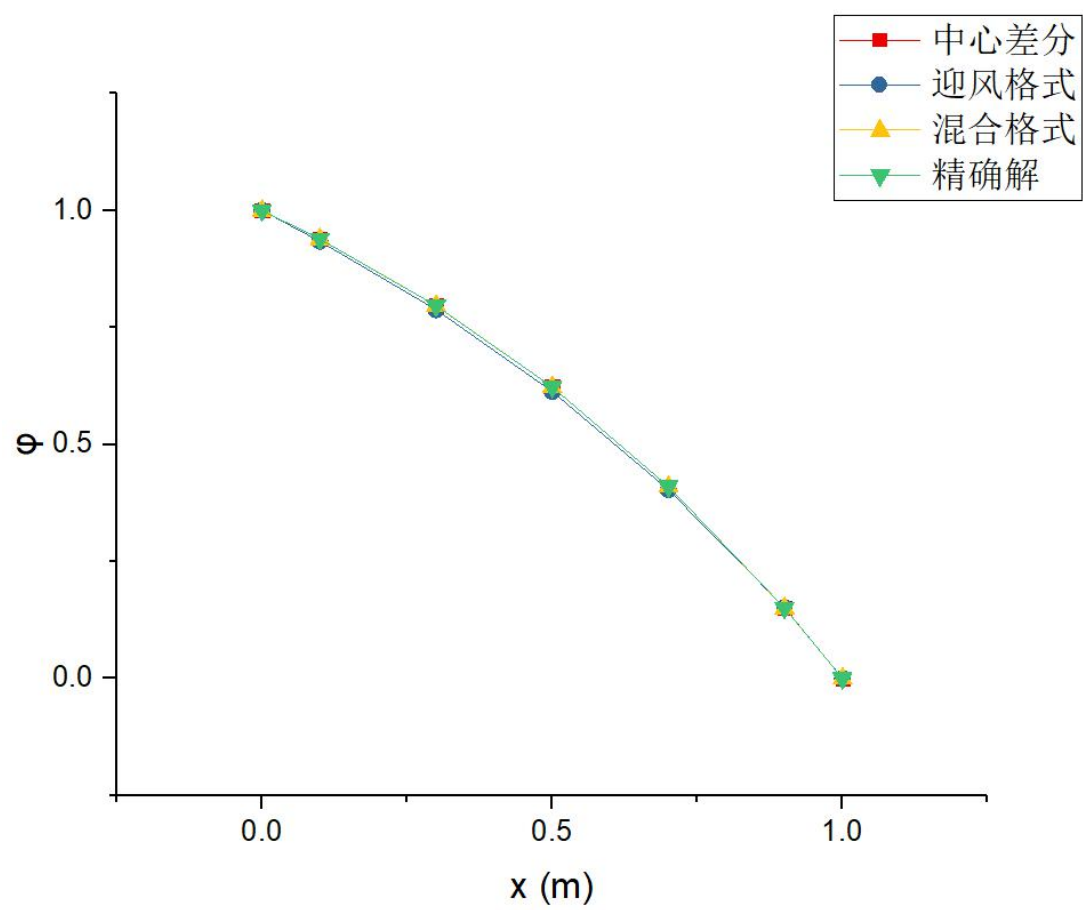


图 3 $u=0.1\text{m/s}$

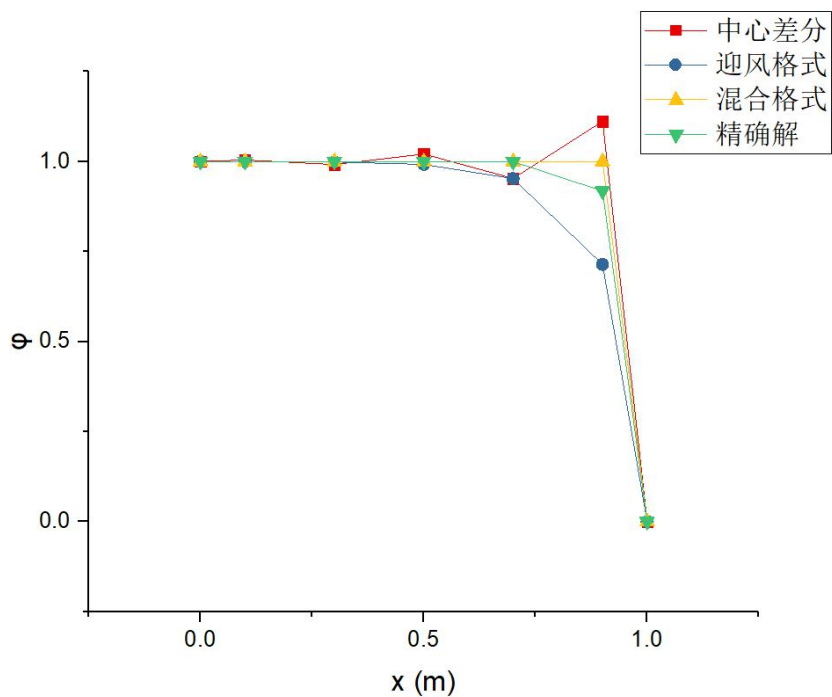


图 4 $u=2.5\text{m/s}$

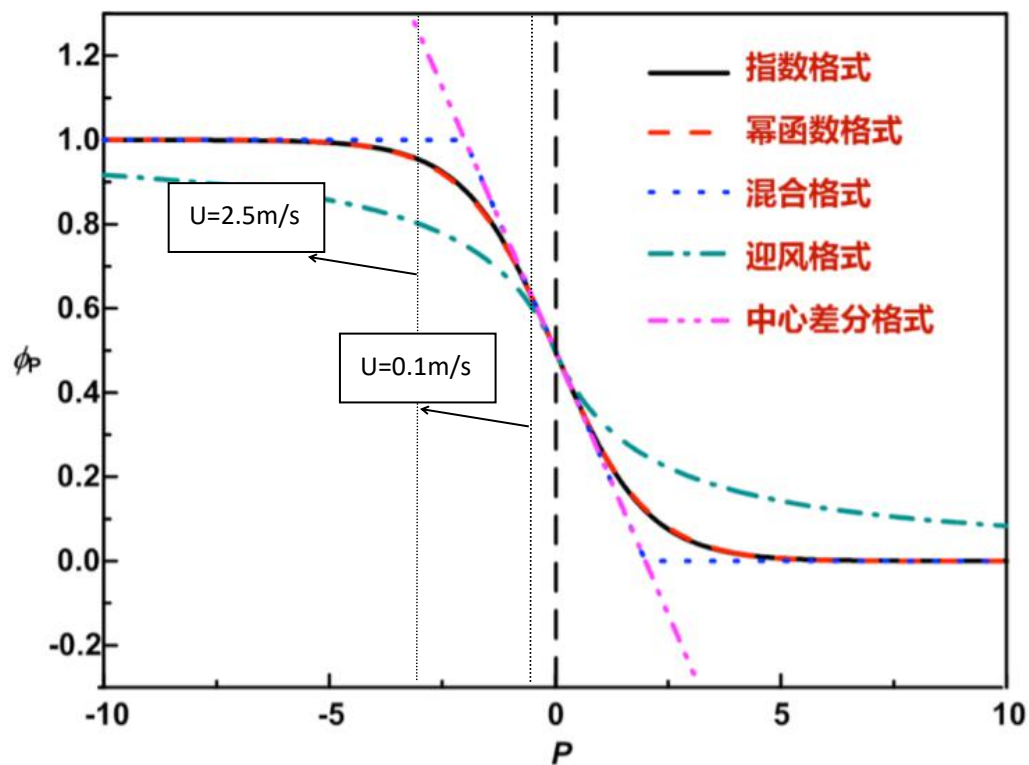


图 5 Peclet 数对计算结果的影响

结果分析

本图是课堂上讨论的不同离散格式下的不同 Peclet 下的精确度，可知 $u=0.1\text{m/s}$ 、 $u=2.5\text{m/s}$ 情况分别等效于如图所示的两个位置，结合计算结果可知，相吻合， $u=2.5\text{m/s}$ 时，三种格式的计算结果均与精确解有较大偏差，且中心差

分格式偏大，混合格式略偏大，迎风格式偏小，图 4 中的结果符合预期结果。

为进一步分析计算结果,速度取 $u=2\text{m/s}$ 、 $u=5\text{m/s}$ ，可看出 $u=1\text{m/s}$ 时 $P=2$ ，此时混合格式与中心差分格式相同，此时混合格式与准确解的偏差达到最大，这是因为此时混合格式仍然与中心格式是等同的， $u=5\text{m/s}$ 时， Pe 数较大，此时，迎风格式优于中心差分格式，后者不稳定性加剧，而混合格式已经接近精确解，这是因为混合格式忽略了扩散项，而迎风格式的扩散项假设节点之间温度呈线性分布，该假设造成了很大的偏差。

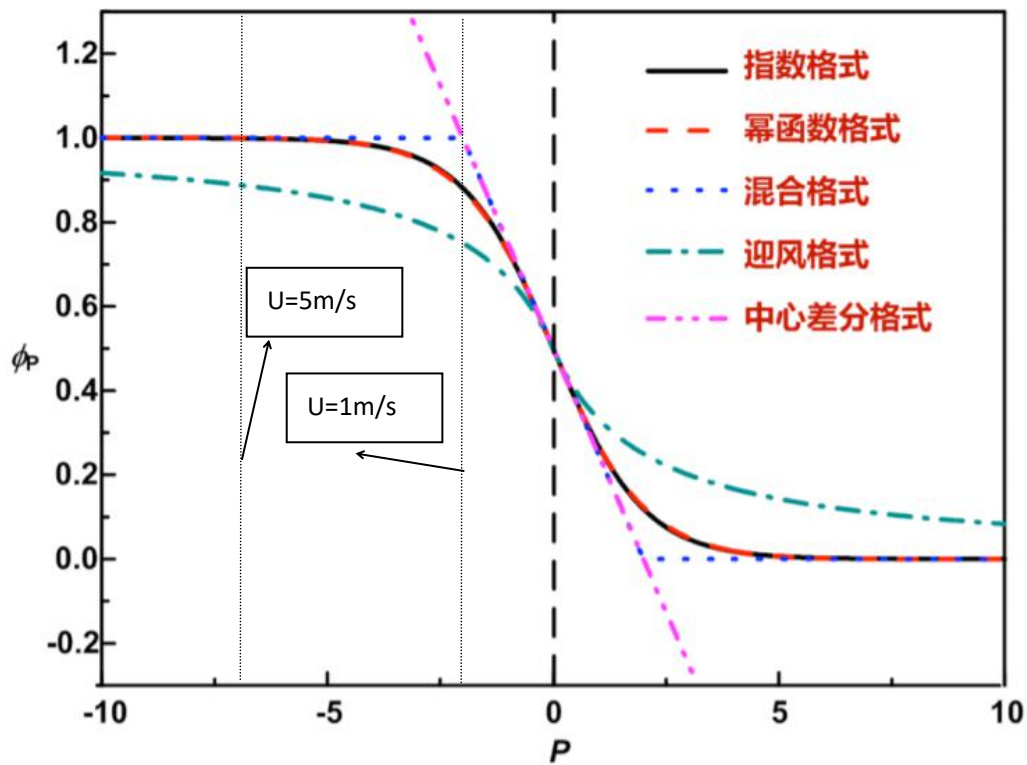


图 6 探究 $u=1\text{m/s}$ 与 $u=5\text{m/s}$

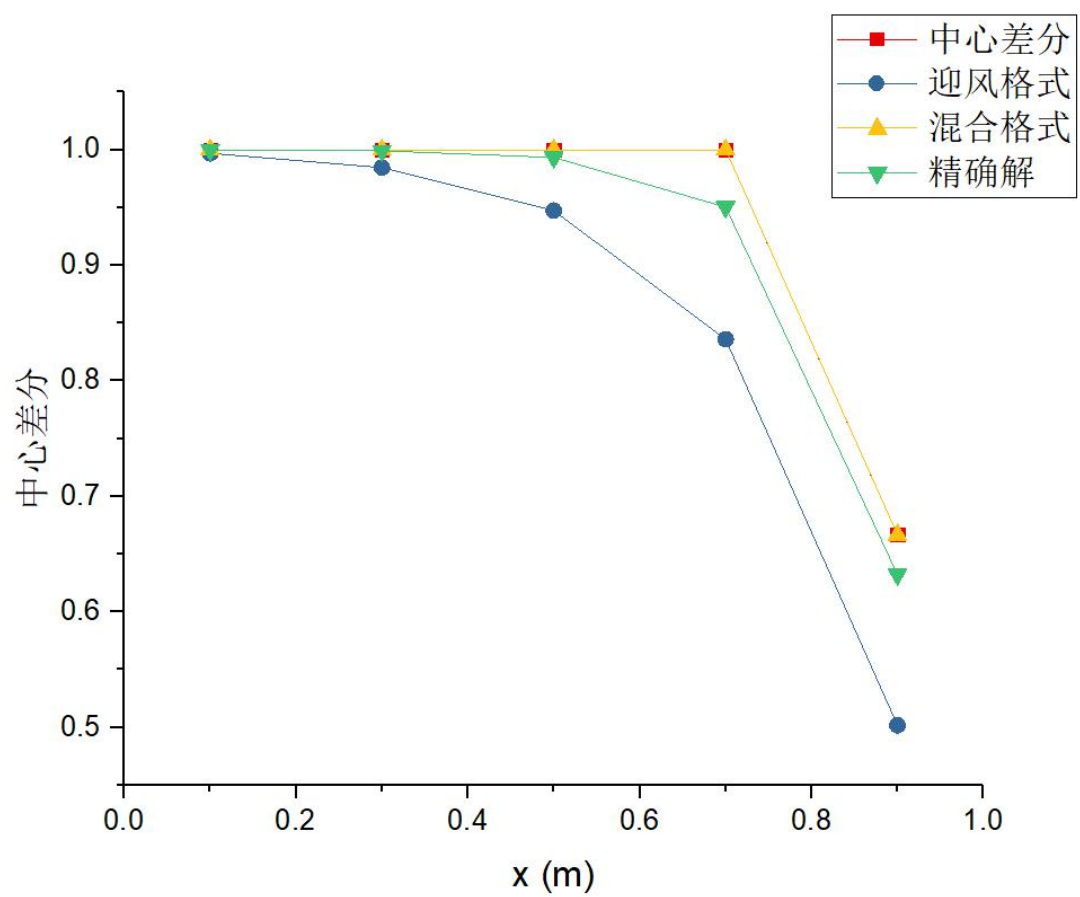


图 7 $u=1\text{m/s}$

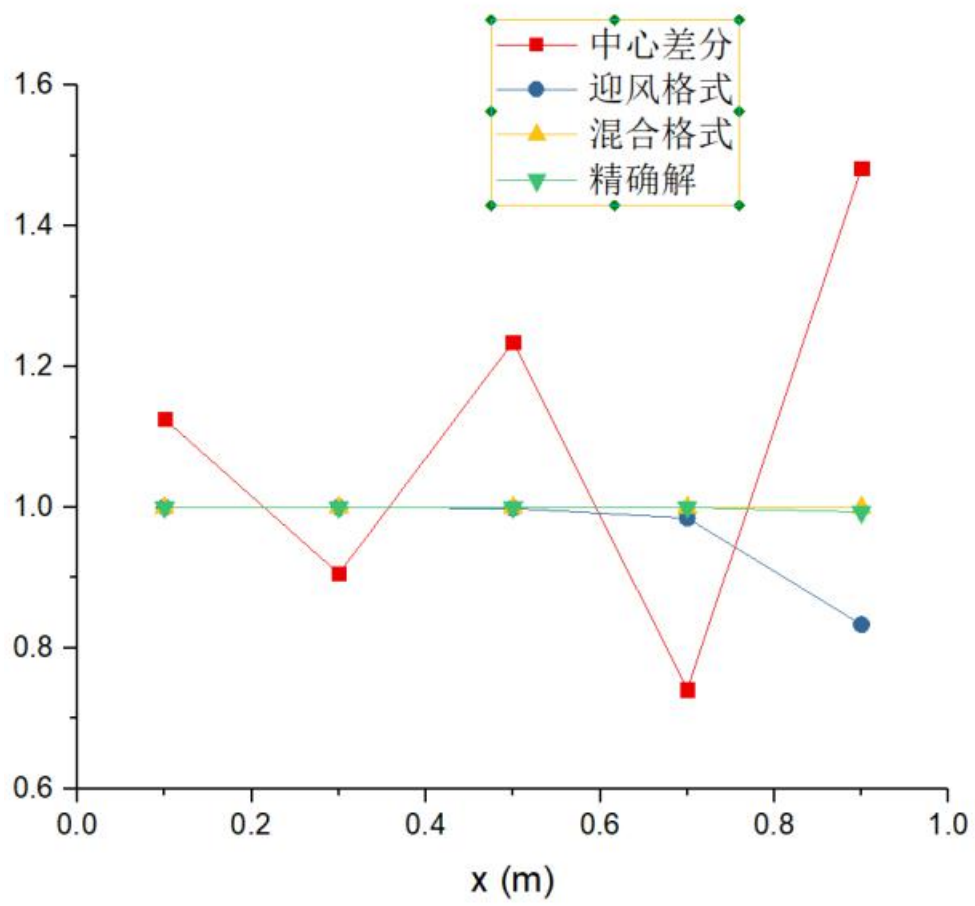
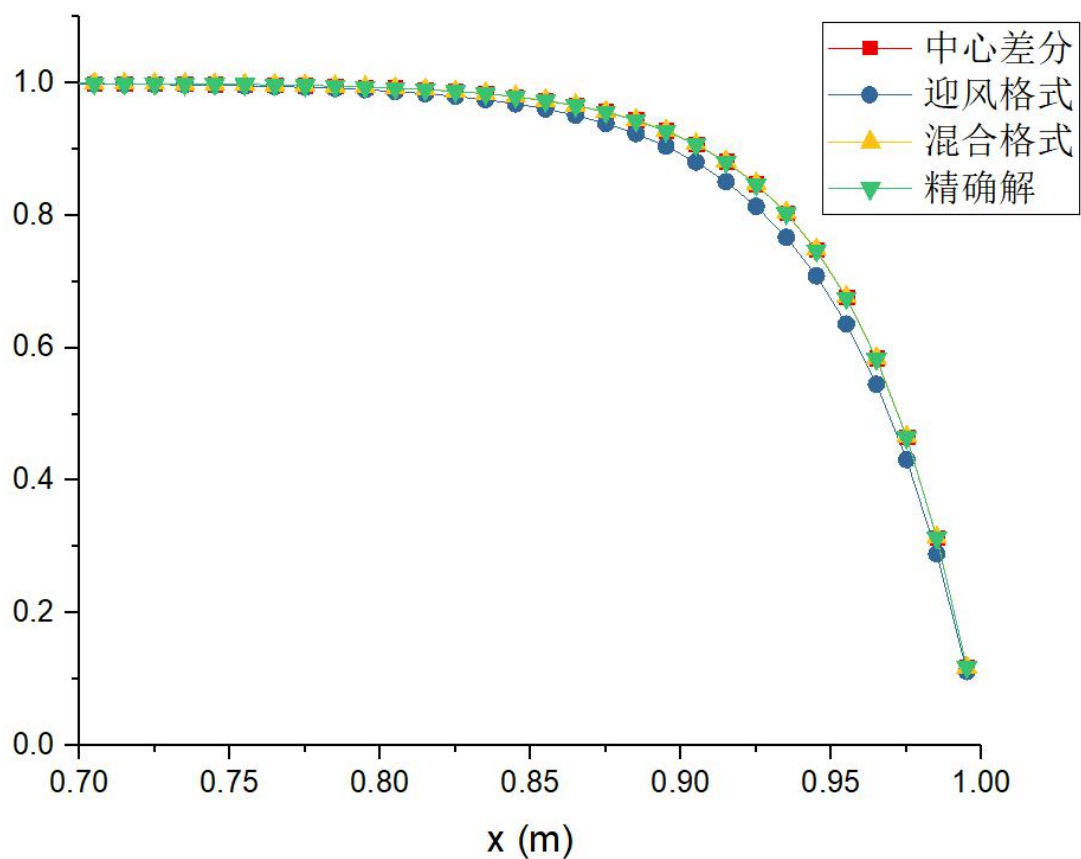


图 8 $u=5\text{m/s}$

还可以将网格细分为 100 个观察此时结果，取 $u=2.5\text{m/s}$ ，此时 Pe_{clet} 数为 0.25，由图中可看出，迎风格式仍然存在较大偏差，可见，虽然迎风格式绝对稳定，但需要在 Pe_{clet} 数很小或很大时才能接近解析解。



附件：程序代码

1 追赶法解线性方程

```

MODULE share_data
REAL::L,rou,lamda,u,fai0,faiL  !fai0,faiL 边界条件
save
INTEGER::K      !网格数
REAL::x         !网格间距
REAL::P,D,F     !P=F/D, F=rou*u, D=lamda/x
END MODULE      !共享数据

REAL FUNCTION select_bigger(x,y)  !max() 函数
IMPLICIT NONE
REAL, INTENT(IN)::x,y
IF(x>y) THEN
select_bigger=x
ELSE
select_bigger=y
END IF
END FUNCTION

```

```

REAL FUNCTION A1(P)                                !三种系数函数, 中心差分格式
IMPLICIT NONE
REAL, INTENT(IN)::P
REAL::select_bigger
A1=1.0-0.5*ABS(P)+select_bigger(-P,0.0)
END FUNCTION A1

```

```

REAL FUNCTION A2(P)                                !迎风格式
IMPLICIT NONE
REAL, INTENT(IN)::P
REAL::select_bigger
A2=1.0+select_bigger(-P,0.0)
END FUNCTION A2

```

```

REAL FUNCTION A3(P)                                !混合格式
IMPLICIT NONE
REAL, INTENT(IN)::P
REAL::select_bigger
A3=select_bigger(0.0,1.0-0.5*ABS(P))+select_bigger(-P,0.0)
END FUNCTION A3

```

```

SUBROUTINE pattern_chasing(fai,A)                  !追赶法
USE share_data
IMPLICIT NONE
REAL, INTENT(OUT)::fai(K)
REAL, EXTERNAL::A
REAL::diag(K),right(K-1),left(K-1),b(K)
INTEGER::i
diag(1)=2.0*A(P/2.0)+A(P)+P
right(1)=-A(P)
b(1)=2.0*(P/2.0+A(P/2.0))*fai0
diag(K)=A(P)+2.0*A(P/2.0)+P
left(K-1)=-P-A(P)
b(K)=2.0*A(P/2.0)*faiL
DO i=2,K-1
diag(i)=2*A(P)+P
right(i)=-A(P)
left(i-1)=-A(P)-P
b(i)=0
END DO
DO i=1,K-1

```

```

left(i)=left(i)/diag(i)
diag(i+1)=diag(i+1)-left(i)*right(i)
b(i+1)=b(i+1)-left(i)*b(i)
end do
fai(K)=b(K)/diag(K)
DO i=K-1,1,-1
fai(i)=(b(i)-right(i)*fai(i+1))/diag(i)
end do
END SUBROUTINE

```

```

PROGRAM Convection_diffusion
USE share_data
IMPLICIT NONE
REAL, EXTERNAL::A1,A2,A3
REAL::j
REAL, ALLOCATABLE, DIMENSION(:)::z
REAL, ALLOCATABLE, DIMENSION(:)::fai1,fai2,fai3,fai4      !1 中心差分, 2 迎风格式, 3 混合格
式 4 解析解
REAL::time_begin,time_over
WRITE(*,*)' 输入网格数'
READ(*,*) K
WRITE(*,*)' 输入速度'
READ(*,*)u
CALL CPU_TIME(time_begin)
ALLOCATE(fai1(K))
ALLOCATE(fai2(K))
ALLOCATE(fai3(K))
ALLOCATE(fai4(K))
ALLOCATE(z(K))
L=1.0
rou=1.0
lamda=0.1
fai0=1.0
faiL=0.0
x=L/K
F=rou*u
D=lamda/x
P=F/D
CALL pattern_chasing(fai1,A1)      !追赶法, 求三种格式线性方程组
CALL pattern_chasing(fai2,A2)
CALL pattern_chasing(fai3,A3)
DO j=1,K
z(j)=(j-0.5)*x
fai4(j)=1.0-(exp(F*z(j)/lamda)-1.0)/(exp(F*L/lamda)-1.0)

```

```

end DO
CALL CPU_TIME(time_over)
WRITE(*,*) '    坐标    ', '    中心差分    ', '    迎风格式    ', '    混合格式    ', '    解
析解    '
Do j=1,K
WRITE(*,*) z(j), fai1(j), fai2(j), fai3(j), fai4(j)
END DO
open(1, file=' test.out', mode = 'write')
WRITE(1,*) '    坐标    ', '    中心差分    ', '    迎风格式    ', '    混合格式    ', '    解
析解    '
Do j=1,K
WRITE(1,*) z(j), fai1(j), fai2(j), fai3(j), fai4(j)
END DO
Do j=1,K
WRITE(1,*)
(fai1(j)-fai4(j))/fai4(j), (fai2(j)-fai4(j))/fai4(j), (fai3(j)-fai4(j))/fai4(j)
END DO
close(1)
WRITE(*,*) '运行时间', time_over-time_begin
DEALLOCATE(z)
DEALLOCATE(fai1)
DEALLOCATE(fai2)
DEALLOCATE(fai3)
DEALLOCATE(fai4)
END PROGRAM convection_diffusion

```

2. 高斯赛达尔方法解线性方程

```

MODULE share_data
REAL::L, rou, lamda, u, fai0, faiL !fai0, faiL 边界条件
INTEGER::K !网格数
REAL::x !网格间距
REAL::P, D, F !P=F/D, F=rou*u, D=lamda/x
REAL::w !松弛因子
END MODULE !共享数据

```

```

REAL FUNCTION select_bigger(x, y) !max() 函数
IMPLICIT NONE
REAL, INTENT(IN)::x, y
IF(x>y) THEN
select_bigger=x
ELSE
select_bigger=y
END IF
END FUNCTION

```

```

REAL FUNCTION A1(P)                                !三种系数函数, 中心差分格式
IMPLICIT NONE
REAL, INTENT(IN)::P
REAL::select_bigger
A1=1.0-0.5*ABS(P)+select_bigger(-P,0.0)
END FUNCTION A1

REAL FUNCTION A2(P)                                !迎风格式
IMPLICIT NONE
REAL, INTENT(IN)::P
REAL::select_bigger
A2=1.0+select_bigger(-P,0.0)
END FUNCTION A2

REAL FUNCTION A3(P)                                !混合格式
IMPLICIT NONE
REAL, INTENT(IN)::P
REAL::select_bigger
A3=select_bigger(0.0,1.0-0.5*ABS(P))+select_bigger(-P,0.0)
END FUNCTION A3

SUBROUTINE pattern_gauss_siedal(fai,A)              !求解线性方程组, fai 为输出量, A 为系数函数 A(P)
USE share_data
IMPLICIT NONE
REAL, INTENT(OUT)::fai(K)
REAL, EXTERNAL::A
INTEGER::i,j
REAL::fai_former(K)
fai=0.0
fai_former=1.0
DO                                                    !高斯-塞达尔迭代解法
fai(1)=(A(P)*fai(2)/(A(P)+P+2.0*A(P/2.0))+(P+2.0*A(P/2.0))*fai0/(A(P)+P+2.0*A(P/2.0)))*w+fai(1)*(1-w)
DO i=2,K-1
fai(i)=((A(P)+P)*fai(i-1)/(2.0*A(P)+P)+A(P)*fai(i+1)/(2.0*A(P)+P))*w+fai(i)*(1-w)
END DO
fai(K)=((A(P)+P)*fai(K-1)/(A(P)+P+2.0*A(P/2.0))+2*A(P/2.0)*faiL/(A(P)+P+2.0*A(P/2.0)))*w+fai(K)*(1-w)
IF (maxval(abs(fai-fai_former))<0.000001) exit      !收敛条件
fai_former=fai
END DO

```

```
END SUBROUTINE pattern_gauss_siedal
```

```
PROGRAM Convection_diffusion
```

```
USE share_data
```

```
IMPLICIT NONE
```

```
REAL, EXTERNAL::A1, A2, A3
```

```
INTEGER::j
```

```
REAL, ALLOCATABLE, DIMENSION(:)::z
```

```
REAL, ALLOCATABLE, DIMENSION(:)::fai1, fai2, fai3, fai4      !1 中心差分, 2 迎风格式, 3 混合格  
式 4 解析解
```

```
REAL::time_begin, time_over
```

```
WRITE(*,*)'输入网格数'
```

```
READ(*,*) K
```

```
WRITE(*,*)'输入速度'
```

```
READ(*,*) u
```

```
WRITE(*,*)'松弛因子'
```

```
READ(*,*) w
```

```
Call CPU_TIME(time_begin)
```

```
ALLOCATE(z(K))
```

```
ALLOCATE(fai1(K))
```

```
ALLOCATE(fai2(K))
```

```
ALLOCATE(fai3(K))
```

```
ALLOCATE(fai4(K))
```

```
L=1.0
```

```
rou=1.0
```

```
lamda=0.1
```

```
fai0=1.0
```

```
faiL=0.0
```

```
x=L/K
```

```
F=rou*u
```

```
D=lamda/x
```

```
P=F/D
```

```
CALL pattern_gauss_siedal(fai1,A1)      !高斯塞达尔法, 求三种格式线性方程组
```

```
CALL pattern_gauss_siedal(fai2,A2)
```

```
CALL pattern_gauss_siedal(fai3,A3)
```

```
DO j=1,K
```

```
z(j)=(j-0.5)*x
```

```
fai4(j)=1.0-(exp(F*z(j)/lamda)-1.0)/(exp(F*L/lamda)-1.0)
```

```
end DO
```

```
CALL CPU_TIME(time_over)
```

```
Do j=1,K
```

```
WRITE(*,*) z(j), fai1(j), fai2(j), fai3(j), fai4(j)
```

```
END DO
```



```
WRITE(*,*) ' 运行时间',time_over-time_begin
open(1,file=' test.out',mode ='write')
Do j=1,K
WRITE(1,*) z(j), fail(j), fai2(j), fai3(j), fai4(j), (fail(j)-fai4(j))/fai4(j)
END DO
close(1)
DEALLOCATE(z)
DEALLOCATE(fail)
DEALLOCATE(fai2)
DEALLOCATE(fai3)
DEALLOCATE(fai4)
END PROGRAM convection_diffusion
```